

豪雨による道路災害の特性について

岡山大学工学部 正員名合 宏之
岡山大学工学部 学生員 伊藤 省二
正員 ○真壁 貴志

本報告は、岡山県の過去15年間のうちで特に災害の多かった1972年、76年および79年における被災事例とともに、道路災害の発生分布と災害の主要因である豪雨に関する調査の結果得られた二・三の知見について報告するものである。

1. 灾害特性指標と豪雨資料

道路灾害に影響する因子としては、降水、地形、地質、地被、道路状況など多くのものがあるが、ここでは最も重要な因子である降水との関係について検討する。災害特性指標としては、災害復旧事業として採択された市町村別にみた単位道路長当たりの被災件数 N_L (件/km) を用いる。また降雨資料としては、災害発生時の岡山県内 22 雨量観測地点の時間雨量記録をデータとして用いる。図 1 は 1972 年 7 月 9 日～7 月 13 日に発生した梅雨前線性豪雨の総降水量分布と N_L の分布を示したものである。この図より両者は非常によく対応しており、両者の間にはかなりの相関がみられる。なお、同雨量地域においても N_L に違いが見られ、総雨量 R_T だけで N_L との関係を決定できないことを示している。

2. 主成分分析とその結果

Figure 1 is a map of Shikoku (四国) showing the distribution of the number of road damage cases per unit road length (NL). The map uses contour lines to represent values in units of cases/km, ranging from 100 to 350. Specific locations labeled include Niihama City (新見市), Takahashi City (高梁市), and Matsuyama City (宇摩市). The legend indicates the range of values for NL (件/km).

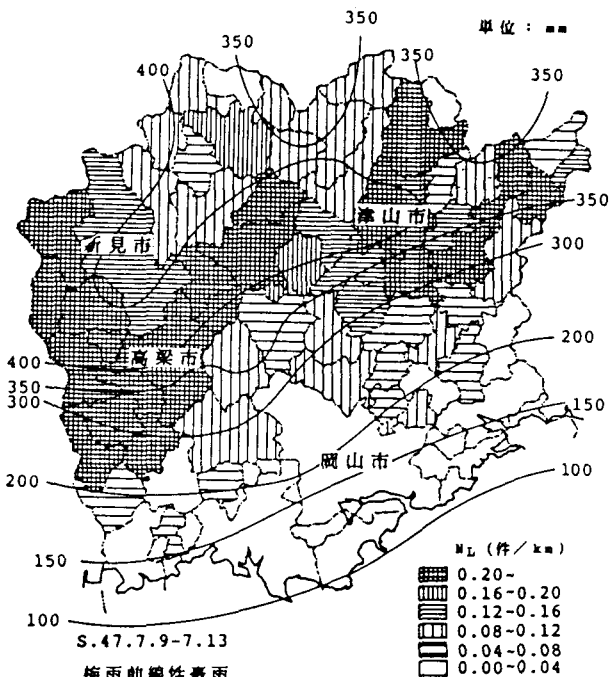


図1 道路災害件数／道路長による市町村別分布図

3. 24時間最大雨量 R_{24} の特性

図3は24時間以上の降雨における、 R_{24} と R_T の関係を N_L をパラメータとして示したものである。相関係数は、0.768を示している。図4は R_{24} と N_L との関係を示したものである。 R_{24} が増加すると N_L も増加の傾向を示している。しかし一つの R_{24} に対応する N_L のはらつきが大きいため、明確な傾向を見い出せない。そこで、 R_{24} の変化に対する N_L の変化をより明確にするために5mm間隔の雨量区間に對応する N_L の平均値 \bar{N}_L を求めたものが図5である。なお、この平均操作にあたって用いた各雨量区間ににおける R_{24} の頻度分布は図6のようであり、頻度が最も高いのは95mm～100mmの区間であることを示している。ただし度数が1以下の場合は除外した。これらの図より、平均的にみると R_{24} が100mm付近から災害が発生し徐々に増加していくことがわかる。また、災害発生件数の変動についてみると、 R_{24} が100mm前後に較べ、200mm以上になると著しく増加していることがわかる。ここでは、 R_{24} を災害発生に影響する外力面の主要な因子と考えて考察してきたが、災害の発生は当然のことながらこのような因子のみで説明できるものでなく、その危険度評価法の確立のためには、ここに得られた成果をさらに詳細に検討するとともに、力学的な抵抗力の面からの検討が必要であると考える。

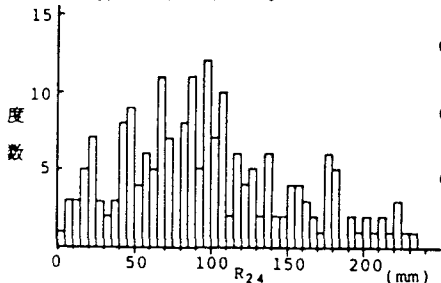
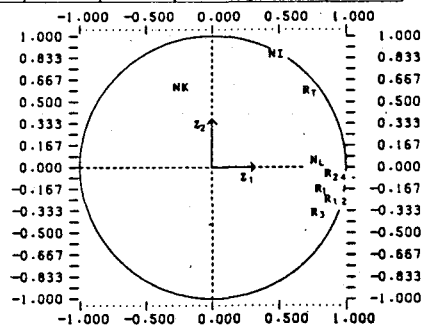
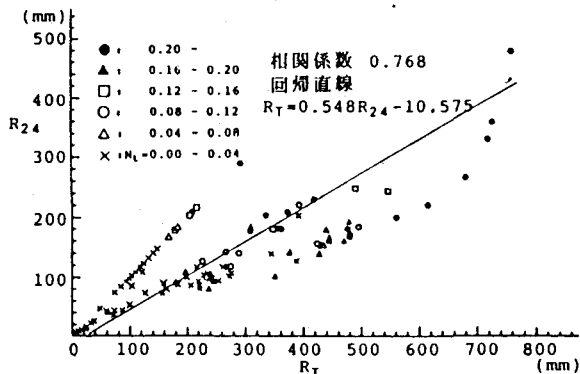
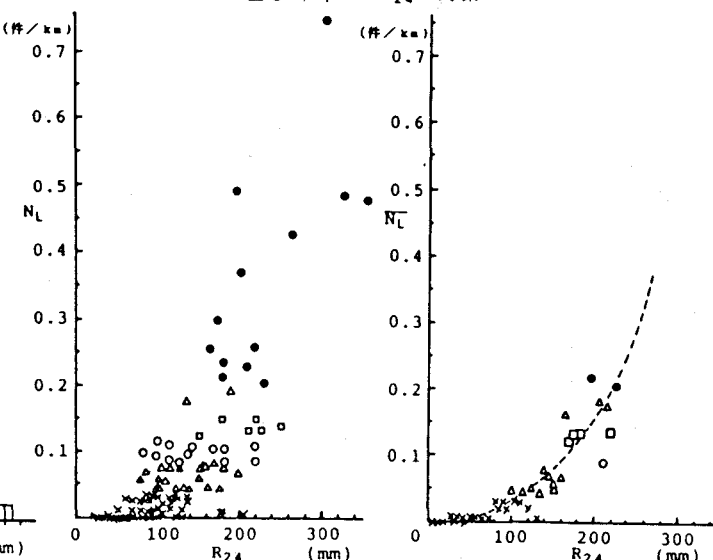
図6 R_{24} の頻度分布図

表1 因子間の相関係数行列

	R_1	R_3	R_{12}	R_{24}	R_T	N_I	N_K	N_L
R_1	1.000	0.870	0.801	0.769	0.516	0.185	-0.104	0.681
R_3		1.000	0.863	0.744	0.402	0.073	-0.201	0.625
R_{12}			1.000	0.920	0.572	0.202	-0.341	0.752
R_{24}				1.000	0.768	0.415	-0.329	0.769
R_T					1.000	0.880	0.014	0.647
N_I						1.000	0.227	0.354
N_K							1.000	-0.150
N_L								1.000

表2 主成分分析結果

	Z_1	Z_2
R_1	0.393	-0.147
R_3	0.380	-0.270
R_{12}	0.423	-0.201
R_{24}	0.436	-0.025
R_T	0.357	0.451
N_I	0.208	0.660
N_K	-0.108	0.474
N_L	0.387	0.024
累積寄与率	60.3(%)	80.7(%)

図2 主成分 Z_1 と Z_2 に対する因子負荷量図図3 R_T と R_{24} の関係図4 R_{24} と N_L の関係図5 R_{24} と \bar{N}_L の関係